

تعیین فراوانی باکتری‌های مقاوم به تلوریت و توانایی حذف آن در پساب صنایع استان قم

محمد رضا ذوالفقاری^{۱*}، محبوبه سلیمانی ساسانی^۲

چکیده

زمینه و هدف: تجمع اکسی‌آنیون سمی تلوریت پتاسیم که در اثر فعالیت‌های صنعتی در محیط افزایش یافته است باعث بروز عوارضی همچون تحریک پوست، درماتیتیس، بی‌اشتها بی، لرزش، تهوع، استفراغ، تحریک سیستم عصبی، تشنج و ایست تنفسی در انسان می‌شود. این پژوهش با هدف جداسازی باکتری‌های مقاوم به تلوریت، تعیین حداقل غلظت مهارکنندگی از رشد (MIC) و بررسی احیای زیستی تلوریت پتاسیم در سویه‌ها انجام شد.

روش بررسی: از ۸۴ سویه مقاوم جدا شده از پساب، MIC تلوریت پتاسیم با روش رقت در آگار سنジیده شد. سویه QWTm₆ با تحمل غلظتی از تلوریت به میزان ۶۶۸۴ μg/ml، به عنوان سویه برتر انتخاب شد. تحمل این میزان تلوریت تاکنون گزارش نشده است.

یافته‌ها: با بررسی صفات بیوشیمیایی، فنوتیپی و فیزیولوژی؛ سویه QWTm₆ به طور اولیه در جنس استافیلوکوکوس قرار گرفت. با استفاده از تکنیک اسپکتروفتومتریک و معروف DDTC (& A_{340nm}) سدیم دی اتیل دی تیوکاربامات تری هیدرات)، بیشترین میزان حذف در مدت ۲۴ ساعت در غلظت M₄mM تلوریت پتاسیم مشاهده شد. سویه فوق توانایی بالای در حذف اکسی‌آنیون سمی تلوریت در محدوده وسیعی از عوامل مانند (pH=۵-۱۱)، دما (۰-۵۰°C)، دوره‌همنز (۵۰، ۱۰۰ و ۱۵۰ و ۲۰۰ rpm)، تراکم‌های مختلف اکسی‌آنیون (۰-۱ mM) و درصدهای مختلف NaCl (۰-۲۰٪) نشان داد. همچنین این سویه به پنی‌سیلین، سفکسیم، تتراسیکلین، کلرامفنیکل، استرپتو‌مایسین، نومایسین، اریترو‌مایسین، جنتامایسین، کانا‌مایسین، نورفلوکساسین و سپروفلوفلوكساسین مقاوم بود.

نتیجه‌گیری: نتایج این مطالعه نشان داد سویه QWTm₆ به عنوان سویه مناسب در پاک‌سازی زیستی در مجتمع بین‌المللی مطرح شود.

کلید واژه‌ها: اکسی‌آنیون؛ اسیدتلوروس؛ پاک‌سازی زیستی.

استادیار میکروب‌شناسی، دانشکده علوم پایه، دانشگاه آزاد اسلامی، واحد قم، قم، ایران.

اکارشناس ارشد میکروب‌شناسی، دانشکده علوم پایه، دانشگاه آزاد اسلامی، واحد قم، قم، ایران.

*نویسنده مسئول مکاتبات:

محمد رضا ذوالفقاری، دانشکده علوم پایه، دانشگاه آزاد اسلامی، واحد قم، قم، ایران؛

آدرس پست الکترونیکی:

mreza.zolfaghary@gmail.com

تاریخ دریافت: ۸۹/۱۱/۴

تاریخ پذیرش: ۹۱/۳/۴

لطفاً به این مقاله به صورت زیر استناد نمایید:

Zolfaghari MR, Soleimani Sasani M. Determination of Abundance of Tellurite-resistant Bacteria and the Ability of Remove of them from Qom Province Industrial Wastewater. Qom Univ Med Sci J 2013;7(1):11-17. [Full Text in Persian]

مقدمه

همچنین علائم نوروتوكسیک، تخریب چشمگیر حافظه یادگیری و فضایی را نشان داده است (۱۳). مسیر ورود این عنصر و اکسی‌آئیون‌های آن از راههای تنفسی، گوارشی، تماس با پوست و چشم می‌باشد (۱۴). برخی از میکرووارگانیسم‌ها از جمله باکتری‌هایی که قادر به رشد در مجاورت فلزات سنگین هستند می‌توانند نقش مهمی را در پاکسازی زیستی (Bioremediation) فلزات سمی مانند تلوریت ایفا کنند. پاکسازی زیستی؛ تجزیه یا تغییر شکل مواد آلوده مانند فلزات به مواد بی‌ضرر یا کم‌ضرر می‌باشد که میکروارگانیسم‌ها در این فرآیند نقش مهمی دارند (۱۵). حذف این ترکیبات سمی به وسیله باکتری‌های مختلف به عنوان راه حل بیولوژیک، ارزان قیمت است (۱۵). باکتری‌های مقاوم به تلوریت می‌توانند این اکسی‌آئیون سمی را تبدیل به تلوریوم عنصری کرده و در سیتوپلاسم خود به صورت کریستال‌های سیاه رنگ رسوب دهند (۱۶). از آنجا که جامعه امروزی به سمت صنعتی‌شدن پیش می‌رود، و در صورت عدم حذف این مواد از پساب‌ها، زیست‌محیط دچار مشکل خواهد شد، لذا این پژوهش به منظور جداسازی و شناسایی باکتری‌های مقاوم به تلوریت پتاسیم از پساب صنایع مختلف انجام شد که در صورت کاربردی شدن در کاهش این سوموم کمک شایان توجهی می‌کند.

روش بررسی

در این پژوهش ۸۴ سویه باکتری مقاوم به تلوریت از پساب صنایع رنگرزی، نساجی، آبکاری و گالوانیزه جدا شد. بیش از ۳۰ نمونه از کارخانجاتی که در پساب آنها به وفور تلوریت پتاسیم یافت می‌شد مانند: نساجی لاله مهرگان، ایران مرنیوس، گلریز، مینک درخشان، رنگرزی‌های ممتاز و خوشرنگ، پساب آبکاری‌های فولاد، آبکاری کروم توپیر، آبکاری نیکل توپیر، گالوانیزه اسیدی ایران خودرو، گالوانیزه هجرت واقع در استان قم و شهرک صنعتی شکوهیه در فوacial ماههای خرداد تا آبان جمع‌آوری شد. سپس در شرایط کاملاً استریل به آزمایشگاه منتقل و مطالعه بر روی آنها انجام گرفت. نمونه‌های جمع‌آوری شده از پساب صنعتی به مدت ۷۲ ساعت در ارلن‌های حاوی محیط غنی کننده Tripticase Soy Broth در دمای ۳۰°C دورشیکر ۱۵۰rpm گرم‌گذاری شدند (۱۷). از هر نمونه

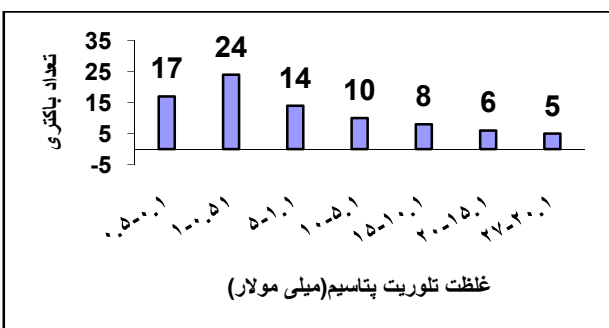
در سالهای اخیر استفاده از اکسی‌آئیون‌های محلول تلوریوم مانند تلوریت در صنایع مختلف از جمله نساجی، رنگرزی، دباغی، آبکاری، عکاسی، ثبیت کننده پلیمرها و حشره‌کش‌ها، آلودگی محیطی را بسیار افزایش داده است (۲، ۳). تلوریوم یک عنصر متالوئید است که عملکرد بیولوژیکی ندارد (۳). این عنصر در بدن تبدیل به دی‌متیل تلورید می‌شود که طعمی شیشه سیر داشته و در تنفس و عرق قابل استشمام است (۴). تلوریت (TeO_3^{2-}) فرم بسیار محلول تلوریوم در محیط بوده و برای پروکاریوت‌ها و یوکاریوت‌ها از جمله پستانداران در غلظت‌هایی کمتر از $1\text{ }\mu\text{g/ml}$ ($4\text{ }\mu\text{m}$) بسیار سمی است (۱). در پروکاریوت‌ها سمی بودن تلوریت، نتیجه یک اکسیدانس قوی است، که باعث بهم خوردن ساختار پروتئین‌های باکتری می‌شود. همچنین تلوریت می‌تواند جایگزین گوگرد سلول‌های باکتریایی شده و به آنها آسیب برساند (۵). مشاهدات پزشکی نشان می‌دهد این ماده در یوکاریوت‌ها می‌تواند بر چشم و دستگاه تنفسی تأثیرگذار باشد، و بر کبد و سیستم اعصاب مرکزی نیز تأثیراتی داشته باشد (۶). از علائم مسمومیت با این ماده می‌توان به بی‌اشتهاای، حالت تهوع، استفراغ، درد شکمی، بی‌پوست، سستی سیستم عصبی مرکزی، سردرد، خشکی دهان، تحریک چشم، کاهش بینایی، درد چشمی، لرزش، تشنج و ایست تنفسی اشاره نمود. اختلال خواب و خواب آلودگی، آنورکسیا، خستگی، کاهش سطح هوشیاری و سیانوز از دیگر اثرات سیستمی آن بر انسان است (۷-۱۰). تلوریوم و اکسی‌آئیون‌های آن می‌توانند باعث تحریک پوست، خارش و درماتیتیس شوند. همچنین قرار گرفتن در معرض این مواد به مدت طولانی می‌تواند ارگان‌ها را تخریب کند. از دیگر اثرات مزمن این مواد، سمی بودن شدید آنها بر کلیه‌های سیستم عصبی و کبد است (۱۱). توقف ستتر آنزیم (Squalene Monooxygenase) نیز از دیگر اثرات قابل توجه این اکسی‌آئیون در انسان است. این آنزیم، مسئول کاتالیز مرحله دوم بیوسنتر کلسترول بوده و با توقف ستتر این آنزیم، غلاف میلین سلول‌های عصبی شوان از بین می‌رود (۱۲). قرار گیری حیوانات آزمایشگاهی در معرض Te، اثرات توکسیک مختلفی مانند فلچ قابل برگشت اعضای پشتی در نتیجه دمیلیناسیون (Demyelination) عصب سیاتیک و ستون فقرات،

در آن کشت داده شده است، بعد از ۲۴ ساعت گرم‌گذاری، واکنش داده و محلول کلئوئیدی زردنگ ایجاد می‌کند. این محلول در طول موج ۳۴۰ nm بیشترین جذب را نشان می‌دهد که پس از ترسیم منحنی جذب استاندارد تلوریت، میزان تلوریت باقیمانده در محیط، در حضور غلاظت‌های مختلفی از تلوریت پتانسیم اندازه گیری می‌شود (۲۱).

در ادامه این پژوهش به علت امکان مقاومت همزمان بین آنتی‌بیوتیک‌ها و یون فلزات سنگین، مقاومت سویه QWTmb_2 نسبت به آنتی‌بیوتیک‌ها در محیط مولر هینتون آگار نیز مورد بررسی قرار گرفت و مقاومت به آنتی‌بیوتیک‌های آمپیسیلین، ریفارمیپسین، پنی‌سیلین، کلرامفینیکل، سفکسیم، تتراسیکلین، اریترومایسین، استرپتومایسین، نومایسین، جنتامایسین، کانا‌مایسین، نوروفلوکساسین و سپروفلوکساسین در سویه مورد نظر سنجیده شد (۱۹).

یافته‌ها

در این پژوهش ۸۴ باکتری مقاوم به تلوریت از پساب صنایع جدا شد. نمودار شماره ۱ محدوده مقاومت به تلوریت پتانسیم را در این باکتری‌ها نشان می‌دهد که بیشترین تعداد در محدوده MIC بین $10\text{-}51\text{mM}$ و کمتر از 5mM می‌باشد؛ یعنی ۴۱٪/ باکتری‌های جداسده غلاظت‌های کمتر از 1mM را تحمل می‌کنند. در این بررسی سویه QWTm_6 جداسده از پساب رنگرزی ممتاز واقع در جاده اصفهان-قم که میزان مقاومت به تلوریت پتانسیم در آن ۲۶ mM بود، انتخاب شد. کریستال‌های عنصری سیاه در داخل سلول باکتری نشانه احیای تلوریت به تلوریوم عنصری بود. این سویه یک کوکسی گرم مثبت بوده که براساس صفات بیوشیمیایی، فنوتیپی و فیزیولوژی در جنس استافیلوکوکوس قرار گرفت (جدول).



نمودار شماره ۱: محدوده مقاومت به تلوریت پتانسیم در تمام سویه‌های مقاوم جداسده از پساب صنایع استان قم

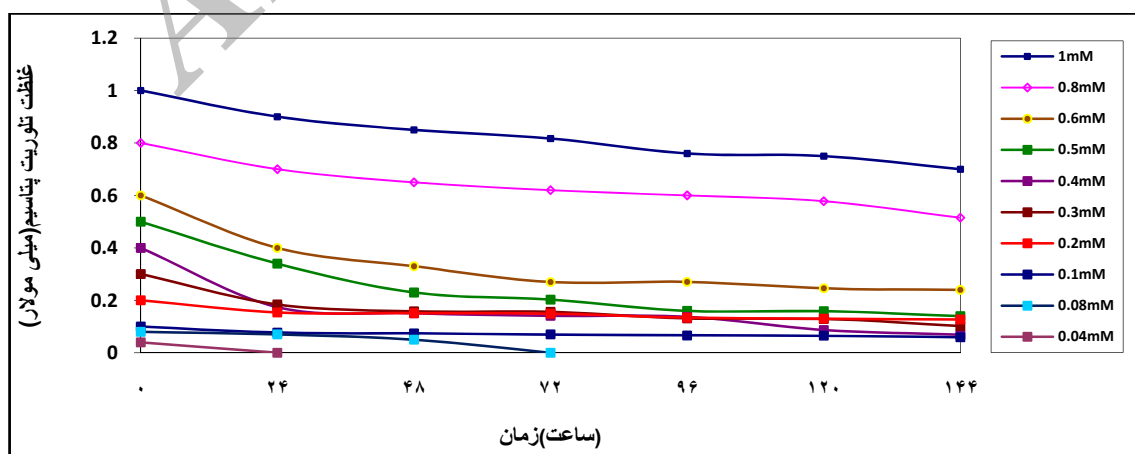
هموژن شده، ۱ml در شرایط کاملاً استریل برداشته شد و رقت‌های متوالی $10^{-1}\text{-}10^{-6}$ در لوله‌های آزمایش حاوی ۹ml بافر P.B.S (Phosphate Buffer Saline) استریل با $\text{pH}=7/2$ تهیه شد. جهت بازیافت جمعیت میکروبی، روش Spread Plate به کار برده شد (۱۸). همچنین جهت تفکیک انواع کلندی‌های به دست آمده در پلیت‌ها از روش خالص‌سازی Streak Plate Method استفاده شد. در این روش از کلندی تشکیل شده بر روی محیط نوترینت آگار برداشت شده و در لوله‌های حاوی ۱ml سرم فیزیولوژی سوسپانسیون شد. در ادامه، یک لوپ از سوسپانسیون به صورت مارپیچ در پلیت کشت داده شد، سپس کلندی‌های به دست آمده جداگانه بر روی پلیت‌های جدید کشت داده شدند (۱۲). پس از مرحله خالص‌سازی، باکتری‌ها به محیط نوترینت آگار دارای میزان 1mM تلوریت پتانسیم ($\text{K}_2\text{TeO}_3^{2-}$) انتقال یافتهند (۳). پس از از شناسایی سویه‌های باکتریایی مقاوم به تلوریت و الگوی مقاومت باکتری‌ها، تعیین MIC با روش رقت در آگار تلوریت پتانسیم ($10\text{-}30\text{mM}$) در دمای 34°C با $\text{pH}=7/2$ به مدت ۱۰ روز در نظر گرفته شد، و حداقل غلاظت تلوریت پتانسیم که مانع رشد باکتری در محیط می‌شد، به عنوان MIC (MIC) برای تلوریت در هر پلیت ۳ بار مورد ارزیابی قرار گرفت (۱۸). مورفولوژی کلندی بر روی حداقل غلاظت مهارکننده رشد (MIC) برای تلوریت در هر پلیت سنجش قرار گرفت. هیدرولیز نشاسته، کازائین، اسکولین و ژلاتین نیز تعیین گردید (۱۹). در ادامه، منابع نیتروژنی، منابع کربنی و تولید اسید از کربوهیدرات‌ها در سویه‌ها (۲۰)، و رشد در دماهای $10\text{-}50^{\circ}\text{C}$ در محیط نوترینت براث با $\text{pH}=7/2$ بررسی شد. همچنین رشد در محدوده pH نهایی محیط بین $5\text{-}11$ در دمای 35°C و تحمل نمک سدیم کلراید در تراکم $20\text{-}40\text{mM}$ مورد سنجش قرار گرفت (۱۸). به منظور آنالیز کمی تلوریت توسط سلول‌های باکتری، از معرف DDTc استفاده شد. این معرف در pH خنثی با تلوریت احیانشده واقع در سوپرناتانت محیط کشت نوترینت براث دارای غلاظت 4mM تلوریت پتانسیم که باکتری

جدول: ویژگی‌های مورفولوژیک، فیزیولوژیک، متabolیک و بیوشیمیایی سویه منتخب (QWTm₆)

سویه QWTm ₆	ویژگی	سویه QWTm ₆	ویژگی	سویه QWTm ₆	ویژگی	شکل ظاهری
صرف منابع ازتی:		تولید اسید:		کوکسی		
+	ال-لیزین	+	د - گلوکر	+		واکنش گرم
-	ال - فنیل آلانین	-	د - مانوز	کروی		شکل کلنی
+	ال - گلایسین	-	لاکتوز	کامل		حاشیه
+	ال - تیروزین	+	مانیتول	محدب		سطح
+	ال - آرژین	+	سوکروز	کره‌ای		قوام
+	ال - هیستیدین	+	د- فروکتوز	مات		سدورت
+	ال - سیترولین	+	مانیتول بی‌هوایزی	سفید		تولید رنگدانه
	هیدرولیز:	+	گلوکر بی‌هوایزی	+		قطر کوچکتر از 5mm
-	ژلاتین		صرف منابع کربنی:	+		کاتالاز
-	اسکولین	+	د - گلوکر	-		اکسیداز
-	نشاسته	+	د - مانوز	-		حرکت
-	کازئین	+	لاکتوز	+		احیای نیترات به نیتریت
	فعالیت آنزیمی:		مانیتول	-		H ₂ S تولید
-	لیزین دکربوکسیلаз	+	سوکروز	-		متیل رد
+	اوره آز	+	د- فروکتوز	-		وژرپرسکوئر
-	لیستیناز	+	د- گالاکتوز	-		تولید اندول
-	DNase	-	تولید ملائی از تیروزین	-		سیترات
محدوده pH:		محدوده دمایی:		محدوده رشد در NaCl		
+	۵-۱۱	+	۱۵-۵۰°C	+	%۰-۲۰	

است، و در ۲۴ ساعت بیش از ۵۶٪ تلوریت موجود در محیط کشت توسط سویه باکتریایی حذف شده و در طی ۱۲۰ ساعت نیز این میزان به ۷۸٪ حذف رسیده است که با افزایش غلظت تلوریت میزان حذف کاهش یافته است (نمودار شماره ۲).

اثر غلظت‌های اولیه ۰/۰۴، ۰/۰۸، ۰/۱، ۰/۲، ۰/۳، ۰/۴، ۰/۵، ۰/۶، ۰/۷ و ۰/۸ mM تلوریت پتابسیم بر میزان حذف تلوریت پتابسیم در سویه QWTm₆ در محیط پایه نوترینت برات نشان داد بیشترین درصد حذف تلوریت در سویه QWTm₆ در غلظت ۰/۴ در غلظت ۰/۰۴ بوده

نمودار شماره ۲: اثر غلظت‌های اولیه تلوریت پتابسیم بر روی حذف آن در سویه QWTm₆ در محیط پایه

گزارش شده توسط آموزگار در مورد سالینوکروکوس سویه QW6 با MIC 12mM و ۱/۶ برابر باکتری تحمل کننده نمک CHW1 با میزان ۱۶mM (۲۵)، و ۱/۳ برابر سویه برتر جداشده از جنس ناترونوباکتریوم با MIC ۲۰mM در پژوهش Pearson و همکاران در سال ۱۹۹۹ بوده است (۲۶).

در بررسی میزان حذف تلوریت پتاسیم با روش کالریمتریک و استفاده از معرف DDTc، بیشترین میزان حذف و احیای تلوریت در سویه QWTm₆ در غلظت ۰/۴ گزارش شد (۲۱)، و در غلظت‌های بیشتر میزان حذف کاهش یافت. این یافته منطبق با نتایج مطالعاتی بود که توسط Ohtak در سال ۱۹۸۱، Ehrlich و Bopp در سال ۱۹۸۸ انجام گرفت و نشان می‌داد احیای باکتریایی با مقاومت رابطه مستقیم دارد و کاهش میزان حذف اکسی‌آنیون در غلظت‌های بالاتر نیز دلیلی بر سمی بودن بیشتر تلوریت است (۲۷). Horitsu و همکاران در سال ۱۹۸۷ نیز بیان کردند حذف و احیا، فرآیندی آنتی‌بیوتیک است که در غلظت‌های بالاتر به علت کاهش شدید فعالیت آنتی‌بیوتیک، این میزان بسیار کاهش می‌باید (۱۲). در این پژوهش میزان مقاومت سویه QWTm₆ به آنتی‌بیوتیک‌ها نیز مورد بررسی قرار گرفت.

مقاومت باکتری‌ها به آنتی‌بیوتیک‌ها و سایر عوامل ضد میکروبی مشکلی رو به افزایش در جامعه امروزی است. مقاومت به آنتی‌بیوتیک‌ها مستلزم تغییراتی در ساختار ژنتیکی باکتری‌ها است که می‌تواند توسط موتابیون‌های ژنتیکی و یا انتقال ژن‌های مقاومت آنتی‌بیوتیک بین باکتری‌ها در محیط صورت گیرد (۲۲). از طرف دیگر، بین مقاومت به یون فلزات سنگین و آنتی‌بیوتیک‌ها ارتباط وجود دارد و بسیاری از محققین نیز معتقدند ژن‌های مقاومت به فلزات سنگین و برخی آنتی‌بیوتیک‌ها در فواصل نزدیک، بر روی یک پلاسمید مشترک حمل می‌شوند. بنابراین، احتمال مقاومت همزمان بین آنها وجود دارد (۲۸). به علت شیوع باکتری‌های پاتوژن مقاوم به آنتی‌بیوتیک، بیماری‌های عفونی متفاوتی وجود داشته و درمان آنها هم بسیار مشکل به نظر می‌رسد. لذا، نه تنها نیاز است که دقت بیشتری در آنتی‌بیوتیک مورد استعمال و مؤثر در جامعه صورت گیرد؛ بلکه باید به سایر آنتی‌میکروب‌ها مانند فلزات سنگین موجود در محیط نیز توجه بیشتری شود (۲۹).

در بررسی مقاومت آنتی‌بیوتیکی؛ سویه QWTm₆ به آمپی‌سیلین و ریفارمیسین حساس تشخیص داده شد، در حالی که نسبت به آنتی‌بیوتیک‌های پنی‌سیلین، کلرامفنیکل، سفکسیم، تتراسیکلین، اریتروماسین، استرپتومایسین، نئومایسین، جنتامایسین، کانا‌مایسین، نوروفلوكسازین و سیپروفلوکسازین مقاوم بود.

بحث

امروزه، به علت استفاده از Te در ساخت موادی مانند سرامیک، شیشه، مواد نیمه‌رسانا و کارخانجات رنگرزی، دباغی، صنایع الکترونیک، ترکیبات مختلف این عنصر از جمله اکسی‌آنیون بسیار سمی تلوریت در غلظت‌های بالا در خاک، پساب صنایع و رسوب معادن یافت می‌شود (۴). سمی بودن تلوریت در نتیجه یک اکسیدانت قوی است که باعث بهم خوردن ساختار پروتئینی سلول از طریق جایگزین شدن با گوگرد سلول‌های باکتریایی می‌شود (۲۲). به علت افزایش این فلزات در محیط‌های زندگی میکروبی، مکانیزم‌های مختلف مقاومت به این فلزات از جمله انتشار، احیای یون‌های فلزی و یا به کارگیری آنها به عنوان گیرنده‌های نهایی الکترون در تنفس بی‌هوایی وجود دارد (۱). گاهی این اثرات متقابل بین میکرووارگانیسم‌ها و فلزات سنگین برای محیط و حفظ سلامتی مهم هستند، به عنوان مثال می‌توان از باکتری‌ها برای پاکسازی محیط‌های آلوده به فلزات (Bioremediation) استفاده کرد (۲۳). در این تحقیق سعی گردید با استفاده از میکرووارگانیسم‌های بومی منطقه که از پساب صنایع جدا شده بود، به سویه‌هایی دست یافت که ظرفیت بالایی جهت حذف اکسی‌آنیون سمی تلوریت و کاهش عوارض ناشی از آن را داشته باشند. در این راستا در طی آزمایش‌های غربالگری، از ۸۴ سویه مقاوم به تلوریت جدایشده از پساب صنایع، سویه QWTm₆ (کوکسی گرم مثبت جدایشده از پساب رنگرزی ممتاز واقع در استان قم) با میزان MIC تلوریت ۲۶mM (۶۶۸۴µg/ml) مورد توجه واقع شد که نسبت به MIC گزارش شده توسط ذوالفقاری در سال ۱۳۸۷ (۲۲mM ۱/۱۸ برابر بود (۱۲)، همچنین این میزان ۵/۵ برابر MIC گزارش شده توسط Moore و Kaplan در سال ۱۹۹۴ (۱۲۰۰–۸۰۰µg/ml) در مورد باکتری‌های رودوباکتر اسفلاروئیس و رودوباکتر کپسولاتوس (۲۴)، و ۲/۱۵ برابر MIC

نتیجه‌گیری

نتایج این مطالعه نشان داد استافیلوکوکوس QWTm₆ به علت ظرفیت بالای تحمل به اکسی‌آئیون سمی تلوریت می‌تواند کاندیدای مناسبی جهت حذف این اکسی‌آئیون سمی از محیط‌های آلوده معرفی شود. از طرفی، چون این سویه میزان بالایی از تلوریت پتانسیم موجود در پساب‌ها را احیا و حذف می‌کند، لذا در کاهش اثرات جهش‌زاوی، سرطان‌زاوی و موتاژنیک تلوریت در انسان و سایر اشکال حیات نیز مؤثر است، لذا پیشنهاد می‌شود با بررسی و ردیابی ژن‌های مقاوم در سویه QWTm₆، این ژن‌ها در باکتری‌های بی‌ضرر کلون شده و در پاکسازی زیستی مورد استفاده قرار گیرند.

این سویه از بین ۱۳ آنتی‌بیوتیک بررسی شده به ۱۱ آنتی‌بیوتیک مقاوم بوده است که نتایج فوق با مطالعات Pal در سال ۲۰۰۵ هم‌خوانی داشت (۳۰). همچنین در سال ۲۰۰۰ طی پژوهش‌های Alonso و Lawrence McArthur، مقاومت جداگانه توسط همزمان آنتی‌بیوتیک‌ها و فلزات سنگین بررسی شد (۳۱، ۲۸، ۲۲). در نتیجه با توجه به مطالعات انجام شده، محیط‌های آلوده به املاح فلزی می‌توانند نقش بسیار مهمی در بروز، بقا و انتقال مقاومت به آنتی‌بیوتیک‌ها در باکتری‌ها داشته باشند (۳۰).

References:

1. Taylor DE. Bacterial Tellurite Resistance. *Trends Microbiol* 1999;7(3):111-115.
2. Borghese R, Borsetti F, Foladori P, Ziglio G, Zannoni D. Effects of the Metalloid Oxyanion Tellurite (TeO_3^{2-}) on Growth Characteristics of the Phototrophic Bacterium *Rhodobacter Capsulatus*. *Appl Environ Microbiol* 2004;70(11):6595-6602.
3. Soudi MR, Ghazvini PT, Khajeh K, Gharavi S. Bioprocessing of Seleno-oxyanions and Tellurite in a Novel *Bacillus* sp. Strain STG-83: A Solution to Removal of Toxic Oxyanions in Presence of Nitrate. *J Hazard Mater* 2009;165(1-3):71-77.
4. Sandoval JM, Leve^que Philippe, Gallez B, Va'squez Claudio C, Calderon Pedro Buc. Tellurite-Induced Oxidative Stress Leads to Cell Death of Murine Hepatocarcinoma Cells. *Biometals* 2010;23(4):623-32.
5. Borghese R, Marchett D, Zannoni D. The Highly Toxic Oxyanion Tellurite (TeO_3^{2-}) Enters the Phototrophic Bacterium *Rhodobacter Capsulatus* Via an as Yet Uncharacterized Monocarboxylate Transport System. *Arch Microbiol* 2008;189(2):93-100.
6. Widy-Tyszkiewicz E, Piechal A, Gajkowska B, Smialek M. Tellurium-Induced Cognitive Deficits in Rats are Related to Neuropathological Changes in the Central Nervous System. *Toxicol Lett* 2002;131(3):203-214.
7. Venugopal B, Luckey TD. Metal Toxicity in Mammals: Chemical Toxicity of Metals and Metalloids. New York: Plenum Press; 1978. p. 247. (Vol 2)
8. Friberg L, Nordberg GF, Kessler E, Vouk VB, editors. *Handbook of the Toxicology of Metals*. 2nd ed. Amsterdam: Elsevier; 1986. p. 537. (Vol 1)
9. Zayed J, Philippe S. Acute Oral and Inhalation Toxicities in Rats with Cadmium Telluride. *Int J Toxicol* 2009;28(4):259-265.
10. Ryan RP, Terry CE, Leffingwell SS, editors. *Toxicology Desk Reference: The Toxic Exposure and Medical*. 5th ed. Philadelphia: Taylor & Francis; 2000. p. 1107.
11. Dierks S. Material Safety Data Sheet Potassium Tellurite MSDS. Houston: Texas, Science Lab. Com; 2010. p. 1-5.

12. Zolfaghary, Mohammad Reza, Malekzadeh Feridoon, Amoozegar Mohammad Ali, Razavi Mohammad Reza. The Isolation of an Extremely Double-resistant Bacterium with Specific Application in Bioremediation Against Toxic Oxyanion of Tellurite and Chromate Existing in Industry Wastes: KWT2. *J Env Sci Tech* Spring 2008;10(1):59-73. [Full Text in Persian]
13. Stangherlin EC, Favero AM, Zeni G, Rocha JB, Nogueira CW. Exposure of Mothers to the Suckling Period Changes Behavioural Tendencies in Diphenyl Ditelluride During Their off Spring. *Brain Res Bull* 2006;69(3):311-317.
14. Dreisbach RH. *Handbook of Poisoning*. 12th ed. Norwalk: CT: Appleton and Lange; 1987. p. 239.
15. Leung M. *Bioremediation: Techniques for Cleaning up a Mess*. *Bio Teach J* 2004;2:18-22.
16. Lloyd-Jones, Wendy M, Williamson WM, Slootweg T. The Te-Assay: A Black and White Method for Environmental Sample Pre-Screening Exploiting Tellurite Reduction. *J Microbiol Methods* 2006;67(3):549-556.
17. Malekzadeh F, Ghorbanzadeh Mashkani S, Ghafourian H, Soudi MR. Biosorption of Tungstate by a *Bacillus* sp. Isolated from Anzali Lagoon. *World J Microb Biotechnol* 2007;23(7):905-910.
18. Amoozegar M, Hamedi J, Dadashipour M, Shariatpanahi S. Effect of Salinity on the Tolerance to Toxic Metals and Oxyanions in Native Moderately Halophilic Spore-forming Bacilli. *World J Microbiol Biotechnol* 2005;21(6-7):1237-1243.
19. Smibert RM, Krieg NR, Gerhardt P, Murray RGE, Wood WA, Krieg NR. Phenotypic Characterization. In: *Methods for General and Molecular Bacteriology*. Washington DC: American Society for Microbiology; 1994. p. 607-654.
20. Ventosa A. *Halophilic Microorganisms*. Berlin: Springer; 2004.
21. Turner RJ, Weiner JH, Taylor DE. Use of Diethyldithiocarbamate for Quantitative Determination of Tellurite Uptake by Bacteria. *Annal Biochem* 1992;204(2):292-295.
22. Alonso G, Gomes C, Gonzalez C, Rodriguez Lemoine V. On the Mechanism of Resistance to Channel-forming Colicines (PacB) and Tellurite, Encoded by Plasmid Mip233 (IncH13). *FEMS Microbiol Lett* 2000;192(2):257-261.
23. Pandey G, Jain RK. Bacterial Chemotaxis Toward Environmental Pollutants: Role in Bioremediation. *Appl Environ Microbiol* 2002;68(12):5789-5795.
24. Moore MD, Kaplan S. Members of the Family Rhodospirillaceae Reduce Heavy Metal Oxyanions to Maintain Redox Poise During Photosynthetic Growth: These Metal-reducing Bacteria May Help to Remediate Environmental Pollution. *ASM News* 1994;60:17-23.
25. Amoozegar MA, Ashengroff M, Malekzadeh F, et al. Isolation and Initial Characterization of the Tellurite Reducing Moderately Halophilic Bacterium, *Salinicoccus* sp. Strain QW6. *Microbiol Res* 2008;163(4):456-465.
26. Pearson CT, Jablonski PE. High Level, Intrinsic Resistance of *Natronococcus Occultus* to Potassium Tellurite. *FEMS Microbiol Letter* 174(1):19-23.
27. Bopp LH, Ehrlich HL. Chromate Resistance and Reduction in *Pseudomonas Florescevce* Strain LB300. *Arch Micribiol* 1988;150(5):426-431.
28. Lawrence JG. Clustering of Antibiotic Resistance Genes: Beyond the Selfish Operon. *ASM News* 2000;66(5):281-286.
29. Spain Anne, Alm Elizabeth. Implications of Microbial Heavy Metal Tolerance in the Environment. *Rev Undergrad Res* 2003;2:1-6.
30. Pal A, Dutta S, Mukherjee PK, Paul AK. Occurrence of Heavy Metal Resistance in Microflora from Serpentine Soil of Andaman. *J Basic Microbiol* 2005;45(3):207-218.
31. McArthur JV, Tuckfield Rc. Spatial Pattern in Antibiotic Resistance Among Stream Bacteria: Effects of Industrial Pollution. *App Environ Microbiol* 2000;66(9):3722-6.